

КООРДИНАЦИОННЫЕ
СОЕДИНЕНИЯ

УДК 546.271-386

ИЗУЧЕНИЕ ПРОЦЕССА ПРОТОНИРОВАНИЯ
ЭТИЛОКСИПРОИЗВОДНОГО КЛОЗО-ДЕКАБОРАТНОГО
АНИОНА $[B_{10}H_9OC_2H_5]^{2-}$

© 2022 г. И. Н. Клюкин^a, *, А. В. Колбунова^{a, b}, Н. А. Селиванов^a, А. Ю. Быков^a,
А. С. Кубасов^a, А. П. Жданов^a, К. Ю. Жижин^a, Н. Т. Кузнецов^a

^aИнститут общей и неорганической химии им. Н.С. Курнакова РАН, Ленинский пр-т, 31, Москва, 119991 Россия

^bНациональный исследовательский университет “Высшая школа экономики”,
Мясницкая ул., 20, Москва, 101000 Россия

*e-mail: klukinil@gmail.com

Поступила в редакцию 27.04.2022 г.

После доработки 06.05.2022 г.

Принята к публикации 11.05.2022 г.

В настоящее время химия протонированных комплексов клозо-боратных анионов активно исследуется. Интерес продиктован возможностью использования подобных комплексов для дальнейшей направленной функционализации. В работе изучен процесс количественного протонирования аллоксипроизводного $[2-B_{10}H_9OC_2H_5]^{2-}$ под действием трифторметансульфоновой кислоты CF_3SO_3H . Установлено, что процесс протонирования происходит по борному остову, а не по атому кислорода экзополиэдрического заместителя. При этом дополнительный протон локализован на одной из граней борного полиэдра, а не мигрирует по одному из экваториальных поясов, как в случае аниона $[B_{10}H_{11}]^-$.

Ключевые слова: кластерные анионы бора, клозо-декабораты, аллоксипроизводные, трифторметансульфоновая кислота, нековалентные взаимодействия

DOI: 10.31857/S0044457X22600670

ВВЕДЕНИЕ

Химия кластерных анионов бора является одной из активно развивающихся областей современной неорганической химии [1, 2]. Особое место в ней занимают бороводородные соединения, в первую очередь клозо-боратные анионы с общей формулой $[B_nH_n]^{2-}$, $n = 6–12$ [3, 4]. Это связано с разнообразием строения борного полиэдра и химической реакционной способности [5, 6], что позволяет находить новые потенциальные области применения клозо-боратных анионов и их родственных соединений – карборанов и металлоборанов [7, 8]. Одним из первых направлений практического использования указанных соединений является создание ракетного топлива на их основе, а также лекарственных препаратов для бор-нейтронозахватной терапии (БНЗТ) [9, 10]. Вместе с тем появляются и новые аспекты применения: водородная энергетика [11], создание магнитных материалов [12, 13], разработка новых типов электролитов для электрических аккумуляторов [14].

В настоящее время основное внимание исследователей направлено не на создание новых по-

лиэдрических каркасов, а на изучение их модификации путем замещения атомов водорода на экзополиэдрические группы. При этом в качестве заместителей могут выступать фрагменты органических молекул: нитрилы, кислоты, простые и сложные эфиры, амиды, мочевины [15–17]. Существует множество методов получения подобных борилированных производных [18]. Одним из наиболее изученных подходов является процесс электрофильно-индукцируемого замещения [19], механизм которого рассмотрен в работах [20, 21]. Ключевыми интермедиатами в данном процессе являются комплексы с кислотами Льюиса. При этом в качестве кислот Льюиса могут выступать H^+ , $AlCl_3$ и другие [22, 23]. Особый интерес представляют комплексы с клозо-боратными анионами с уже введенными экзополиэдрическими заместителями.

В данной работе расширен ряд протонированных комплексов клозо-декаборатного аниона на основе взаимодействия аллоксипроизводного $[2-B_{10}H_9OC_2H_5]^{2-}$ с трифторметансульфоновой кислотой CF_3SO_3H .

Таблица 1. Основные кристаллографические данные $((C_6H_5)_4P)_2((C_4H_9)_4N)[B_{10}H_9OH \cdot B_{10}H_9OH] \cdot 2C_2H_5OH$

Соединение	$((C_6H_5)_4P)_2((C_4H_9)_4N) \cdot [B_{10}H_9OH \cdot B_{10}H_9OH] \cdot 2C_2H_5OH$
Брутто-формула	$C_{66}H_{105}B_{20}NO_4P_2$
M	1254.64
T, K	150
Сингония	Орторомбическая
Пр. гр.	$Pna2_1$
$a, \text{\AA}$	37.2987(8)
$b, \text{\AA}$	10.5566(3)
$c, \text{\AA}$	18.6620(5)
$V, \text{\AA}^3$	7348.1(3)
Z	4
$P_{\text{расч}}, \text{г/см}^3$	1.134
$\mu, \text{мм}^{-1}$	0.105
$F(000)$	2680.0
Размеры кристалла, мм	$0.8 \times 0.6 \times 0.3$
Излучение, $\lambda, \text{\AA}$	$MoK_\alpha (\lambda = 0.71073)$
Интервал углов 2θ , град	4.01–51.364
Число отражений:	
измеренных	37880
независимых (N) [R_{int}]	12502 [0.0309]
GooF	1.038
R_1, wR_2 по N_0	$R_1 = 0.0488, wR_2 = 0.1293$
R_1, wR_2 по N	$R_1 = 0.0561, wR_2 = 0.1349$

ЭКСПЕРИМЕНТАЛЬНАЯ ЧАСТЬ

Спектры ЯМР (^{11}B , 1H , ^{13}C) растворов исследуемых веществ в CD_2Cl_2 записывали на спектрометре Bruker Avance II-300 на частотах 300.3, 96.32 и 75.49 МГц соответственно с внутренней стабилизацией по дейтерию. В качестве внешних стандартов использовали тетраметилсилан и эфират трехфтористого бора. Исследования проводили на оборудовании ЦКП ФМИ ИОНХ РАН, функционирующем при поддержке государственного задания ИОНХ РАН в области фундаментальных научных исследований.

Кристаллы $((C_6H_5)_4P)_2((C_4H_9)_4N)[B_{10}H_9OH \cdot B_{10}H_9OH] \cdot 2C_2H_5OH$ были получены парофазным насыщением раствора $(Bu_4N)_2[2-B_{10}H_9OH]$ с двумя эквивалентами Ph_4PCl в метаноле диэтиловым эфиrom при добавлении соляной кислоты. Набор дифракционных отражений для кристалла получен в Центре коллективного пользования ИОНХ РАН на автоматическом дифрактометре Bruker

SMART APEX2 (λMoK_α , графитовый монохроматор, ω -ф-сканирование). Данные были проиндексированы и интегрированы с помощью программы SAINT [24]. Применялась поправка на поглощение, основанная на измерениях эквивалентных отражений (SADABS) [25]. Структуры расшифрованы прямым методом с последующим расчетом разностных синтезов Фурье. Все неводородные атомы уточнены в анизотропном приближении. Все атомы водорода CH- и BH-групп уточнены по модели “наездника” с тепловыми параметрами $U_{\text{изо}} = 1.2U_{\text{экв}}$ ($U_{\text{изо}}$) соответствующего неводородного атома ($1.5U_{\text{изо}}$ для CH_3 -групп). Атомы водорода OH-групп, локализованные из разностных синтезов Фурье, уточняли в изотропном приближении.

Все расчеты проводили с использованием программы SHELXTL [26]. Структура расшифрована и уточнена с помощью программного комплекса OLEX2 [27].

Основные кристаллографические данные, параметры эксперимента и характеристики уточнения структуры приведены в табл. 1.

Кристаллографические данные депонированы в Кембриджском банке структурных данных (CCDC № 2166031).

Соединение $((C_4H_9)_4N)[2-B_{10}H_9OC_2H_5]$ получали по известной методике [28].

Протонирование аниона $[2-B_{10}H_9OC_2H_5]^{2-}$. К раствору 30 мг (0.04 ммоль) $(C_4H_9)_4N)[2-B_{10}H_9OC_2H_5]^{2-}$ в 1 мл дейтерированного дихлорметана CD_2Cl_2 в атмосфере сухого аргона добавляли 0.008 мл (0.09 ммоль) CF_3SO_3OH . Полученную смесь выдерживали в течение 10 мин при комнатной температуре. Выход целевого продукта, по данным мультиядерной ЯМР-спектроскопии, составил 100%. ЯМР ^{11}B -{ 1H } (CD_2Cl_2 , м. д.): 19.7 (д, 1B, B_{an}), 1.1 (с, 1B, $B_{\text{зам}}$), -15.8 (д, 2B, $B_{\text{экв}}$), -20.1 (д, 2B, $B_{\text{экв}}$), -22.3 (д, 3B, $B_{\text{экв}}$), -28.0 (д, 1B, B_{an}). ЯМР 1H (CD_2Cl_2 , м. д.): 11.75 (с, 1H, CF_3SO_3H), -0.3–3.50 (м, 10 H, $B_{10}H_9 + H^{fac}$), 3.47 (кв, 2H, $CH_2(\alpha)$), 3.19 (м, 8H, Bu_4N), 1.65 (м, 8H, Bu_4N), 1.42 (м, 8H, Bu_4N), 1.34 (т, 3H, $CH_3(\beta)$), 1.00 (т, 12H, Bu_4N); ЯМР ^{13}C (CD_2Cl_2 , м. д.): 118.1 (CF_3SO_3H), 80.1 ($CH_2(\alpha)$), 58.1 (Bu_4N), 23.2 (Bu_4N), 19.1 (Bu_4N), 14.5 ($CH_2(\beta)$), 12.8 (Bu_4N).

РЕЗУЛЬТАТЫ И ОБСУЖДЕНИЕ

Ранее в работе [28] предложен подход к получению аллоксипроизводных клозо-декаборатного аниона общего вида $[2-B_{10}H_9OR]^{2-}$. Данный подход основан на двухстадийной схеме (рис. 1). На первом этапе при взаимодействии аниона $[B_{10}H_{11}]^-$ с простыми циклическими эфирами образуется оксониевое производное кластерного

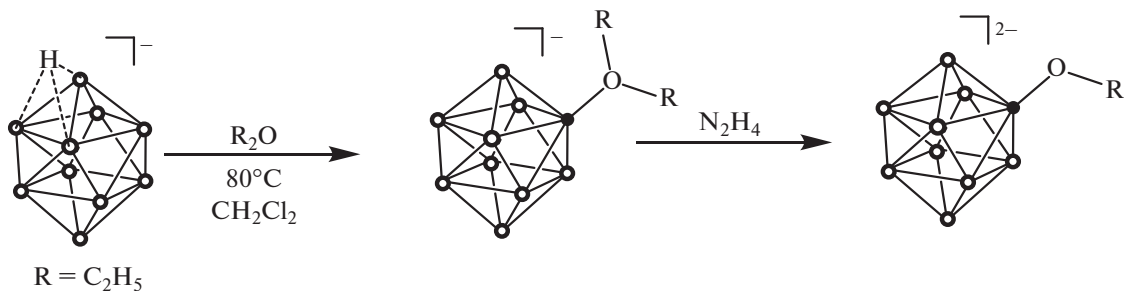


Рис. 1. Получение алcoxипроизводного *клозо*-декаборатного аниона $[\text{B}_{10}\text{H}_9\text{OC}_2\text{H}_5]^{2-}$.

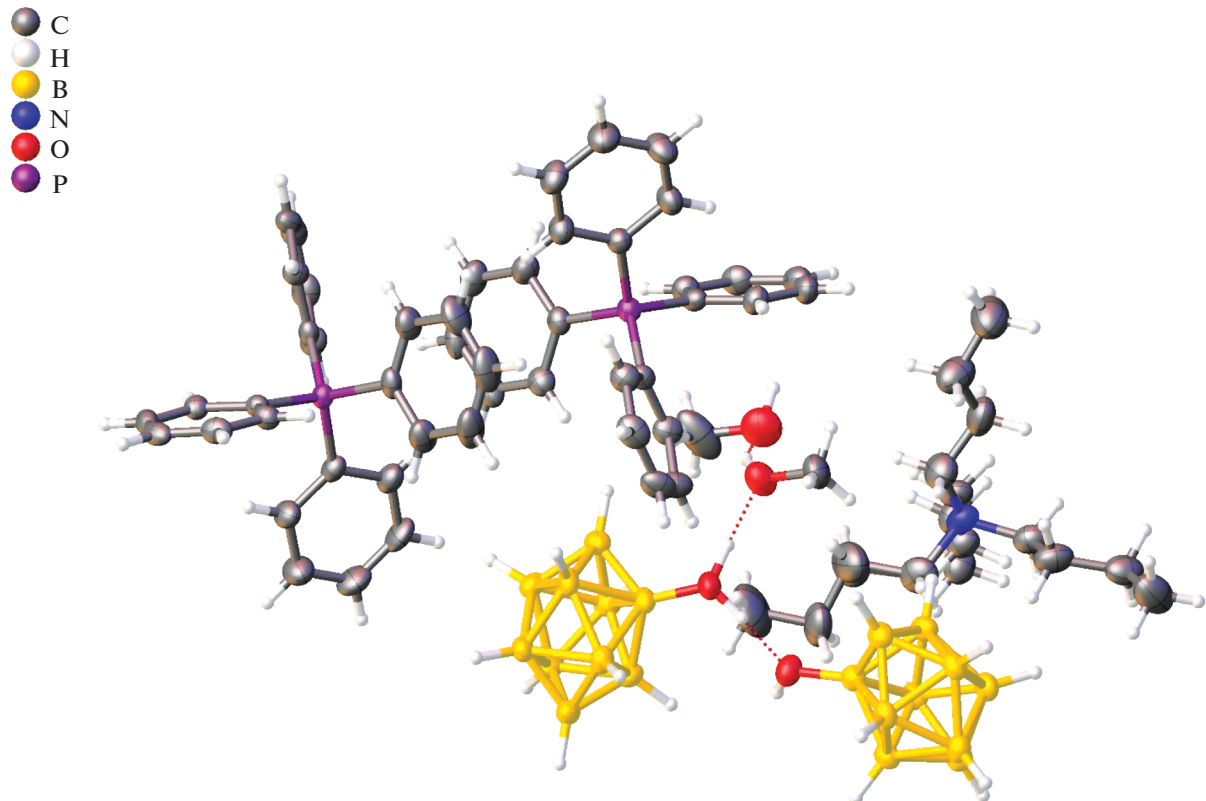


Рис. 2. Кристаллическая структура соли $((\text{C}_6\text{H}_5)_4\text{P})_2((\text{C}_4\text{H}_9)_4\text{N})[\text{B}_{10}\text{H}_9\text{OH}_2 \cdot \text{B}_{10}\text{H}_9\text{OH}] \cdot 2\text{C}_2\text{H}_5\text{OH}$ по данным РСА.

аниона бора. На второй стадии происходит расщепление связи С–О с образованием алcoxипроизводного под действием водного раствора гидразина N_2H_4 .

Однако в таких условиях помимо целевого продукта наблюдается образование гидроксипроизводного $[\text{2-B}_{10}\text{H}_9\text{OH}]^{2-}$. Условия выделения и очистки позволяют успешно отделить данный побочный продукт от целевого алcoxипроизводного. Гидроксипроизводное *клозо*-декаборатного аниона $[\text{2-B}_{10}\text{H}_9\text{OH}]^{2-}$ представляет ценность, так как его можно использовать для дальнейшей модификации как по кластерному

остову, так и по гидрокси-группе. Для выделения целевого продукта мы использовали несколько подходов: экстракцию с использованием дихлорметана и кристаллизацию $[\text{2-B}_{10}\text{H}_9\text{OH}]^{2-}$ из раствора в виде тетрафенилfosфониевой соли. Оба подхода оказались эффективными. При кристаллизации мы подкисляли раствор путем добавления соляной кислоты HCl . В результате была получена кристаллическая структура, в которой кластерный анион содержится в виде смешанной соли с тетрабутиламмониевым и тетрафенилfosфониевым катионами. Целевой продукт находился как в форме аниона $[\text{2-B}_{10}\text{H}_9\text{OH}]^{2-}$, так и в протониро-

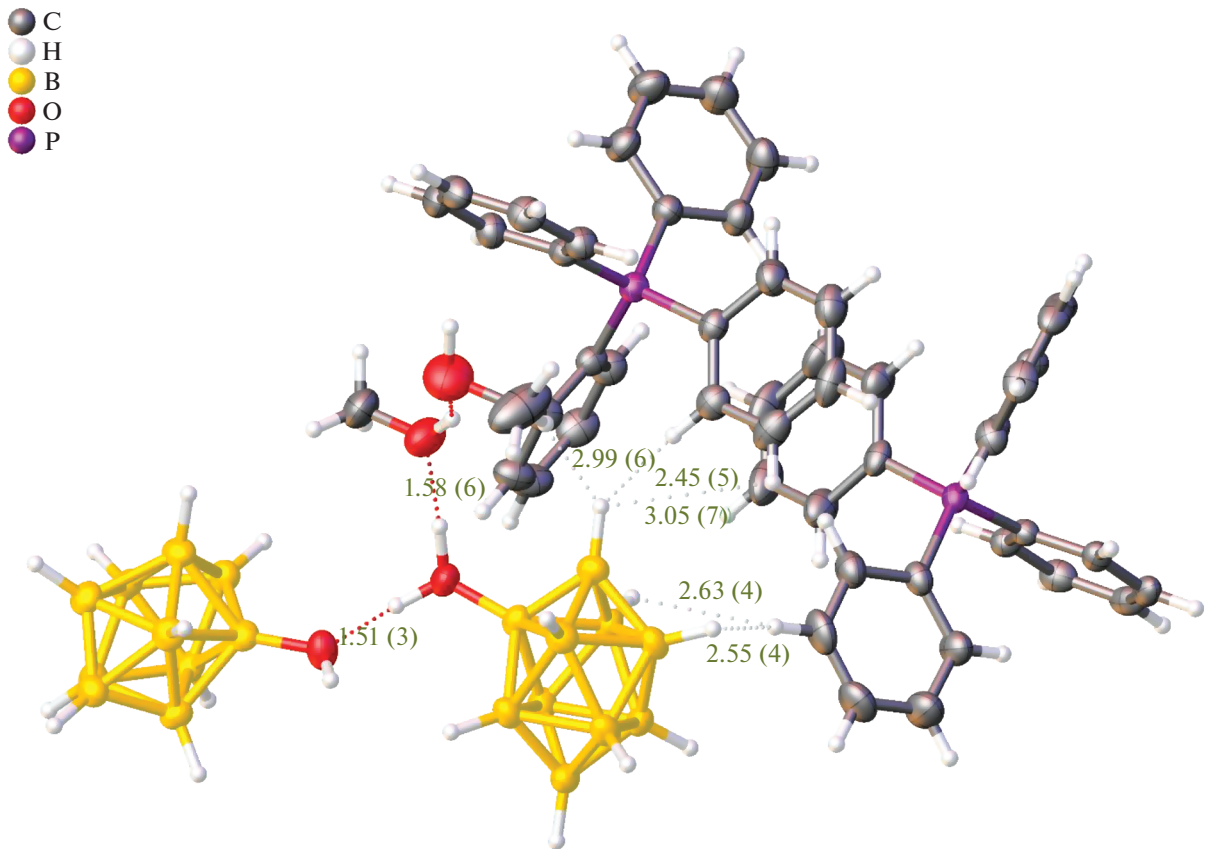


Рис. 3. Основные невалентные контакты в структуре $((\text{C}_6\text{H}_5)_4\text{P})_2((\text{C}_4\text{H}_9)_4\text{N})[\text{B}_{10}\text{H}_9\text{OH}_2 \cdot \text{B}_{10}\text{H}_9\text{OH}] \cdot 2\text{C}_2\text{H}_5\text{OH}$.

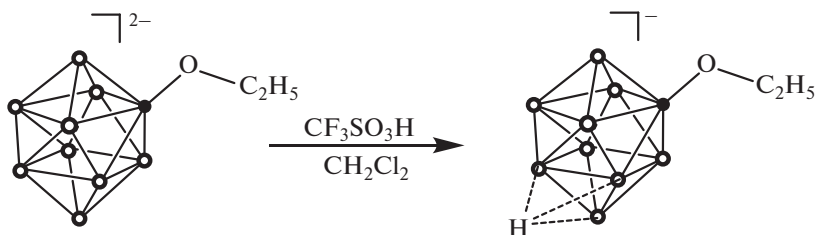


Рис. 4. Протонирование алкоксипроизводного клозо-декаборатного аниона $[\text{B}_{10}\text{H}_9\text{OC}_2\text{H}_5]^{2-}$.

ванной форме с образованием $[\text{B}-\text{H}_9(\text{OH}_2)]^-$. Данная система интересна за счет образования большого количества невалентных контактов, возникающих между катионами и борным кластером, а также между борными кластерами.

Как видно из анализа структуры, длины диводородных контактов между атомами водорода кластерного остова и тетрафенилfosфониевого катиона $\text{BH}-\text{HC}$ лежат в интервале 2.4–3.1 Å (рис. 2). При этом невалентное взаимодействие осуществляется именно за счет диводородных контактов, а не за счет взаимодействия водорода кластера с π -системой бензольного кольца. Невалентные контакты могут осуществляться как за

счет апикальных атомов водорода, так и за счет экваториальных. При локализации атомов водорода в апикальном положении образуется большее количество невалентных контактов. По-видимому, это связано с особенностью кристаллической упаковки полученного гидроксипроизводного, а также с тем, что апикальные атомы водорода имеют больший частичный отрицательный заряд и могут электростатически сильнее взаимодействовать с положительно заряженными атомами водорода фенильного заместителя. Помимо $\text{BH}-\text{HC}$ -контактов в полученной системе наблюдаются взаимодействия между атомами водорода и кислорода

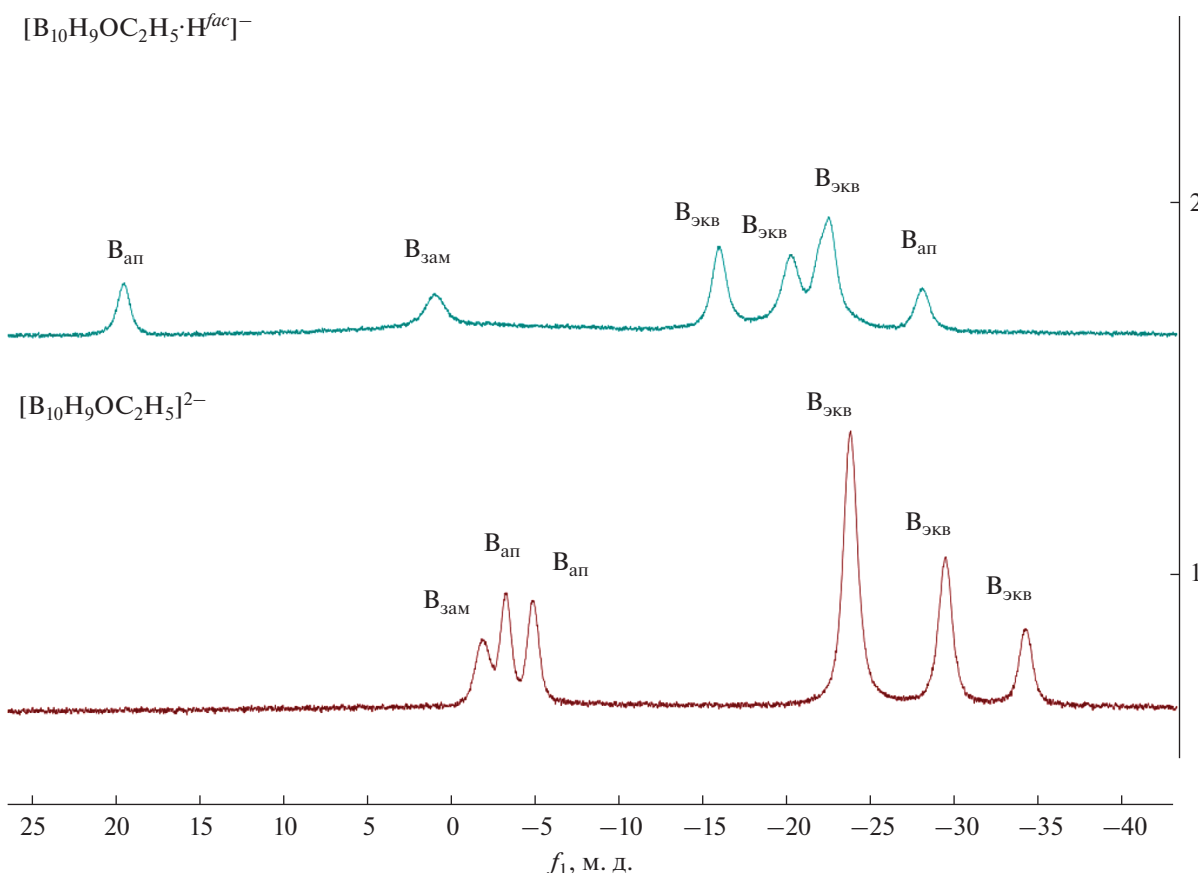


Рис. 5. Спектры $^{11}\text{B}-\{^1\text{H}\}$ ЯМР алкооксипроизводного клозо-декаборатного аниона $[\text{B}_{10}\text{H}_9\text{OC}_2\text{H}_5]^{2-}$ и его протонированного аналога $[\text{2-B}_{10}\text{H}_9\text{OC}_2\text{H}_5\cdot\text{H}^{fac}]^-$.

гидроксильной группы. Длина этих контактов составляет 1.50–1.55 Å.

Для алкооксипроизводного $[\text{2-B}_{10}\text{H}_9\text{OC}_2\text{H}_5]^{2-}$ был изучен процесс протонирования кластерного остова. Данный процесс проводили в среде дихлорметана CH_2Cl_2 при комнатной температуре. Дихлорметан является ненуклеофильным растворителем и не способен вступать в реакции замещения с кластером, в отличие от других распространенных в лабораторной практике растворителей, таких как ацетонитрил CH_3CN или тетрагидрофуран $\text{C}_4\text{H}_8\text{O}$. В качестве кислоты Бренстеда выступала трифторметансульфоневая кислота $\text{CF}_3\text{SO}_3\text{H}$. Использование даже избытка трифторметансульфоновой кислоты CF_3COOH не приводит к протонированию кластерного остова. Как и в случае аниона $[\text{2-B}_{10}\text{H}_9\text{O}_2\text{CCH}_3]^-$, для исчерпывающего протонирования необходим избыток кислоты. Однако в данном случае достаточно всего двух эквивалентов трифторметансульфоновой кислоты $\text{CF}_3\text{SO}_3\text{H}$. Стоит отметить, что использование большого избытка кислоты не

приводит к дополнительному протонированию борного кластера.

Протонирование кластера может осуществляться по различным позициям. В первую очередь, по атому кислорода экзополиэдрического заместителя. Также протон может быть локализован на одной из граней борного полиэдра. Определить строение образующегося комплекса и локализацию H^{fac} наиболее легко и наглядно можно с помощью метода ^{11}B ЯМР-спектроскопии. Процесс образования целевого комплекса $[\text{2-B}_{10}\text{H}_9\text{OC}_2\text{H}_5\cdot\text{H}^{fac}]^-$ проще детектировать по появлению характерного сигнала при 18.5 м. д. В предыдущей работе на основании расчетов спектров ^{11}B ЯМР $[\text{2-B}_{10}\text{H}_9\text{OC}_2\text{H}_5\cdot\text{H}^{fac}]^-$ было доказано, что данный сигнал относится к апикальной позиции, противоположной к той, на которой локализован дополнительный атом водорода H^{fac} . Сигнал от замещенной позиции смещается в слабое поле относительно исходного аниона $[\text{2-B}_{10}\text{H}_9\text{OC}_2\text{H}_5]^{2-}$ и проявляется при 0.7 м. д. В сильном поле присутствуют сигналы от экваториальных и апикального атомов бора.

Такая структура спектра позволяет высказать предположение что, как и в случае аниона $[2\text{-B}_{10}\text{H}_9\text{O}_2\text{CCH}_3]^-$, протон не мигрирует по кластерному остову, а локализован на одной из граней, содержащей апикальный атом бора. При этом протонирование происходит не по атому кислорода экзополиэдрического заместителя, а по борному полиэдру. На данный момент однозначно пока не удалось установить, на какой из граней локализован дополнительный протон. Вероятнее всего, протон локализован на грани, противоположной к замещенной позиции. В дальнейшем планируется однозначно установить структуру комплекса $[2\text{-B}_{10}\text{H}_9\text{OC}_2\text{H}_5\cdot\text{H}^{fac}]^-$ с применением двумерной ^{11}B — ^{11}B ЯМР-спектроскопии и детальных квантово-химических расчетов.

ЗАКЛЮЧЕНИЕ

В работе изучен процесс протонирования аллоксипроизводного $[2\text{-B}_{10}\text{H}_9\text{OC}_2\text{H}_5]^{2-}$ под действием трифторметансульфониевой кислоты $\text{CF}_3\text{SO}_3\text{H}$. В исследуемой реакции борный кластер протонируется количественно. Установлено, что процесс протонирования происходит по борному остову, а не по атому кислорода экзополиэдрического заместителя. При этом дополнительный протон локализован на одной из граней борного остова, а не делокализован по одному из экваториальных поясов.

ФИНАНСИРОВАНИЕ РАБОТЫ

Работа выполнена при поддержке Российского научного фонда (проект № 20-73-00326).

КОНФЛИКТ ИНТЕРЕСОВ

Авторы заявляют, что у них нет конфликта интересов.

СПИСОК ЛИТЕРАТУРЫ

- Zhu Y., Prommana P., Hosmane N.S. et al. // ACS Omega. 2022. V. 7. № 7. P. 5864. <https://doi.org/10.1021/acsomega.1c05888>
- Fink K., Uchman M. // Coord. Chem. Rev. 2021. V. 431. P. 213684. <https://doi.org/10.1016/j.ccr.2020.213684>
- Sivaev I.B., Prikaznov A.V., Naoufal D. // Collect. Czechoslov. Chem. Commun. 2010. V. 75. № 11. P. 1149. <https://doi.org/10.1135/cccc2010054>
- Zhao X., Yang Z., Chen H. et al. // Coord. Chem. Rev. 2021. V. 444. P. 214042. <https://doi.org/10.1016/j.ccr.2021.214042>
- Sivaev I.B. // Russ. J. Inorg. Chem. 2021. V. 66. № 9. P. 1289. <https://doi.org/10.1134/S0036023621090151>
- Axtell J.C., Saleh L.M.A., Qian E.A. et al. // Inorg. Chem. 2018. V. 57. № 5. P. 2333. <https://doi.org/10.1021/acs.inorgchem.7b02912>
- Shmal'ko A.V., Sivaev I.B. // Russ. J. Inorg. Chem. 2019. V. 64. № 14. P. 1726. <https://doi.org/10.1134/S0036023619140067>
- Avdeeva V.V., Garaev T.M., Malinina E.A. et al. // Russ. J. Inorg. Chem. 2022. V. 67. № 1. P. 28. <https://doi.org/10.1134/S0036023622010028>
- Ali F., S Hosmane N., Zhu Y. // Molecules. 2020. V. 25. № 4. P. 828. <https://doi.org/10.3390/molecules25040828>
- Hu K., Yang Z., Zhang L. et al. // Coord. Chem. Rev. 2020. V. 405. P. 213139. <https://doi.org/10.1016/j.ccr.2019.213139>
- Hagemann H. // Molecules. 2021. V. 26. № 24. <https://doi.org/10.3390/molecules26247425>
- Oña O.B., Alcoba D.R., Massaccesi G.E. et al. // Inorg. Chem. 2019. V. 58. № 4. P. 2550. <https://doi.org/10.1021/acs.inorgchem.8b03156>
- Didelot E., Łodziana Z., Murgia F. et al. // Crystals. 2019. V. 9. № 7. P. 372. <https://doi.org/10.3390/cryst9070372>
- Brighi M., Murgia F., Łodziana Z. et al. // J. Power Sources. 2018. V. 404. P. 7. <https://doi.org/10.1016/j.jpowsour.2018.09.085>
- Nelyubin A.V., Selivanov N.A., Bykov A.Y. et al. // Int. J. Mol. Sci. 2021. V. 22. № 24. P. 13391. <https://doi.org/10.3390/ijms222413391>
- Laskova J., Ananiev I., Kosenko I. et al. // Dalton Trans. 2022. V. 51. P. 3051. <https://doi.org/10.1039/D1DT04174F>
- Avdeeva V.V., Garaev T.M., Breslav N.V. et al. // JBIC J. Biol. Inorg. Chem. 2022. <https://doi.org/10.1007/s00775-022-01937-4>
- Cao K., Zhang C.-Y., Xu T.-T. et al. // Molecules. 2020. V. 25. № 2. P. 391. <https://doi.org/10.3390/molecules25020391>
- Jelinek T., Štibr B., Mareš F. et al. // Polyhedron. 1987. V. 6. № 9. P. 1737. [https://doi.org/10.1016/S0277-5387\(00\)86544-4](https://doi.org/10.1016/S0277-5387(00)86544-4)
- Golub I.E., Filippov O.A., Belkova N.V. et al. // Russ. J. Inorg. Chem. 2021. V. 66. № 11. P. 1639. <https://doi.org/10.1134/S0036023621110073>
- Golub I.E., Filippov O.A., Belkova N.V. et al. // Molecules. 2021. V. 26. № 12. <https://doi.org/10.3390/molecules26123754>
- Klyukin I.N., Kolbunova A.V., Selivanov N.A. et al. // Russ. J. Inorg. Chem. 2021. V. 66. № 12. P. 1798. <https://doi.org/10.1134/S003602362112007X>
- Shore S.G., Hamilton E.J.M., Bridges A.N. et al. // Inorg. Chem. 2003. V. 42. № 4. P. 1175. <https://doi.org/10.1021/ic020540s>
- Bruker, SAINT, Bruker AXS Inc., Madison, WI, 2018.
- Krause L., Herbst-Irmer R., Sheldrick G.M. et al. // J. Appl. Crystallogr. 2015. V. 48. № 1. P. 3. <https://doi.org/10.1107/S1600576714022985>
- Sheldrick G.M. // Acta Crystallogr., Sect. C: Struct. Chem. 2015. V. 71. № 1. P. 3. <https://doi.org/10.1107/S2053229614024218>
- Dolomanov O.V., Bourhis L.J., Gildea R.J. et al. // J. Appl. Crystallogr. 2009. V. 42. № 2. P. 339. <https://doi.org/10.1107/S0021889808042726>
- Klyukin I.N., Voinova V.V., Selivanov N.A. et al. // Russ. J. Inorg. Chem. 2018. V. 63. № 12. P. 1546. <https://doi.org/10.1134/S0036023618120112>